

УДК 539.144

## ОЦЕНКА ПАРАМЕТРОВ ГИПЕРЯДЕР В СУПЕРГАУССОВОЙ МОДЕЛИ И $\Lambda p$ -РАССЕЯНИЕ

**С. М. Чернов**

кандидат физико-математических наук, доцент

Могилевский государственный университет имени А. А. Кулешова

*Построен центральный, не зависящий от спинов,  $\Lambda N$  – потенциал, адекватно описывающий энергии связи большинства гиперядер в двухчастичной модели и сечение  $\Lambda p$  – рассеяния при низких энергиях. В качестве нуклонной плотности в гиперядрах использовалась супер-гауссовая модель.*

**Ключевые слова:** гиперядра, энергия связи, размеры ядер, супер-гауссовое распределение нуклонов, длина рассеяния и эффективный радиус.

### Введение

В настоящее время имеется достаточно обширный экспериментальный материал, позволяющий проводить оценки параметров не только  $\Lambda N$  – потенциалов, традиционной проблемы ядерной физики, но и построения потенциалов взаимодействия между другими барионами. Особый прогресс достигнут в области исследования  $\Lambda N$  – и  $\Lambda \Lambda$  – сил. Данное обстоятельство, прежде всего, связано с развитием спектроскопии  $\Lambda$  – гиперядер. На сегодняшний день обнаружено около 30 таких гиперядер, для которых удалось оценить энергии как основных, так и возбужденных состояний с точностью не хуже 0,1 МэВ [1].

Кроме этого, исследования гиперядерных систем открывают возможность для рассмотрения вопроса о размерах нуклонного остова в гиперядрах, включая ядра, для которых отсутствуют данные для свободного состояния. Такой анализ, в комбинации с электромагнитными экспериментами, позволяет также оценивать разницу в распределении протонов и нейтронов в ядрах.

Разумеется, анализ связанных состояний гиперонов и нуклонов должен быть согласован с имеющимися предварительными результатами низкоэнергетического  $\Lambda p$  – рассеяния [2]. Одним из важнейших результатов этих экспериментов явилось доказательство слабой спиновой зависимости  $\Lambda N$  – сил, которой в дальнейшем мы будем вообще пренебрегать.

Описанный круг проблем и является предметом обсуждения настоящей работы. В рамках двухтельной модели проводятся численные расчеты энергий связи гиперядер, в которых плотность распределения нуклонов имеет супергауссовый характер со среднеквадратичными радиусами, определенными из опытов по электронному рассеянию. Для построенного  $\Lambda N$  – потенциала в приближении эффективного радиуса оценены параметры низкоэнергетического рассеяния.

### Основная часть

#### 1. Описание модели гиперядра и основные предположения

Для дальнейшего предполагается, что структура гиперядер может быть описана в рамках двухчастичной модели:  $\Lambda$  – гиперон + недеформированный нуклонный остов. При этом будем рассматривать нуклонный остов как сплошную среду, в которой ядерная материя распределена в пространстве с плотностью  $\rho(r)$ , где  $\rho(r)$  – усредненная по углам плотность распределения нуклонов остова с массовым числом  $A$ . Однако следует иметь в виду, что такую модель нельзя признать удовлетворительной для некоторых легких гиперядер ( ${}^3_{\Lambda}H, {}^7_{\Lambda}Li, {}^9_{\Lambda}Be$ ), рассмотрение которых требует микроскопический подход или соображения кластерной модели. Такое anomальное поведение в распределении протонов в ядре  ${}^6_3Li (1s^2 1p^1)$  качественно объясняется тем, что последний протон только начинает формировать  $p$ -оболочку, удаляясь от центра ядра. Поэтому энергия отделения протона [5]  $B_p = 4,6$  МэВ почти вдвое меньше средней удельной энергии связи ядер ( $\sim 8 \text{ МэВ/нуклон}$ ). Далее, ядро  ${}^9_4Be$  имеет, вероятно, не оболочечную, а кластерную структуру ( $\alpha - n - \alpha$ ) с энергией отделения нейтрона [5]  $B_n = 1,67$  МэВ.

В рамках этих предположений нахождение энергий связи гиперядер сводится к решению уравнения Шредингера для  $\Lambda$  – частицы, движущейся в поле ядра-остова

$$V_{\Lambda o}(r) = \int V_{\Lambda N}(|\vec{r} - \vec{r}_1|) \rho(r_1) d^3r_1. \quad (1)$$

Учитывая малость радиуса действия  $\Lambda N$  – сил ( $0,7 \div 0,9 \text{ Фм}$ ) по сравнению с размерами остова, а также центральный характер потенциала  $V_{\Lambda N}(r)$  выражение (1) можно привести к виду [3]

$$V_{\Lambda o}(r) \approx -\Omega_{\Lambda N} \left( 1 + \frac{R_{\Lambda N}^2}{6} \nabla^2 \right) \rho(r). \quad (2)$$

Здесь объемный интеграл  $\Omega_{\Lambda N}$  и среднеквадратичный радиус  $R_{\Lambda N} = \sqrt{\langle R_{\Lambda N}^2 \rangle}$  являются интегральными характеристиками  $\Lambda N$  – потенциала, не зависят от структуры ядра-остова и определяются соотношениями:

$$\Omega_{\Lambda N} = - \int V_{\Lambda N}(r) d^3r, \quad \langle R_{\Lambda N}^2 \rangle = - \frac{1}{\Omega_{\Lambda N}} \int V_{\Lambda N}(r) r^2 d^3r. \quad (3)$$

Таким образом, проблема построения  $\Lambda N$  – потенциала сводится к определению двух параметров –  $\Omega_{\Lambda N}$  и  $R_{\Lambda N}$ , которые можно найти по экспериментальным значениям энергии связи пары “опорных” гиперядер.

В качестве плотности распределения нуклонов ядра-остова будем использовать модельную функцию вида

$$\rho(r) = \rho_0 \exp \left[ - \left( \frac{r}{a} \right)^{2n} \right], \quad (4)$$

которую будем называть *супергауссовым распределением*. При этом примем значения  $n$ , равные

$$n = \begin{cases} 1, & s\text{-оболочки } (2 \leq A \leq 4) \\ 2, & p\text{-оболочки } (4 < A \leq 16) . \\ 3, & \text{тяжелые ядра } (A > 16) \end{cases} \quad (5)$$

Выбор функции вида (4)–(5) либо совпадает с общепринятым распределением ( $n = 1$ ), либо близок к известным типам нуклонных плотностей в виде осцилляторной или фермиевской зависимости ( $n = 2, 3$ ). При этом важно отметить, что среднеквадратичный радиус должен совпадать с соответствующим экспериментальным параметром, определяемым, например, из опытов по электронному рассеянию [4, 5]:

Учитывая значение интеграла

$$\int_0^{\infty} x^k \exp \left[ - \left( \frac{x}{a} \right)^{2n} \right] dx = \frac{a^{k+1}}{2n} \Gamma \left( \frac{k+1}{2n} \right),$$

можно найти связь параметра  $a$  в условии (4) со среднеквадратичным радиусом ядра

$$\langle R^2 \rangle = \frac{4\pi\rho_0 \int_0^{\infty} r^4 \exp \left[ - \left( \frac{r}{a} \right)^{2n} \right] dr}{4\pi\rho_0 \int_0^{\infty} r^2 \exp \left[ - \left( \frac{r}{a} \right)^{2n} \right] dr} = a^2 \frac{\Gamma(5/2n)}{\Gamma(3/2n)}. \quad (6)$$

Используя свойства Гамма-функции [6], находим искомую связь

$$\begin{cases} n=1 & a = 0.8165 \cdot \langle R^2 \rangle^{1/2} \\ n=2 & a = 1.1627 \cdot \langle R^2 \rangle^{1/2} . \\ n=3 & a = 1.2531 \cdot \langle R^2 \rangle^{1/2} \end{cases} \quad (7)$$

Наконец, параметр  $\rho_0$  найдем из условия нормировки

$$\int \rho_0(r) dV = 4\pi \int_0^{\infty} \rho_0(r) r^2 dr = 1, \quad (8)$$

из которого определяем  $\rho_0 = n [2\pi a^3 \Gamma(3/2n)]^{-1}$ .

Учитывая, что в сферических координатах  $\Delta\rho(r) = \frac{d^2\rho(r)}{dr^2} + \frac{2}{r} \frac{d\rho(r)}{dr}$ , для модели  $\rho(r)$  в виде (4) получим

$$\Delta\rho(r) = \frac{2nA}{a^{2n}} r^{2n-2} \rho_0 \left( 2n \left( \frac{r}{a} \right)^{2n} - (2n+1) \right) \exp \left[ - \left( \frac{r}{a} \right)^{2n} \right]. \quad (9)$$

Тогда из условия (2) для потенциала взаимодействия  $\Lambda$  – остов окончательно получаем

$$V_{\Lambda O}(r) = -\Omega_{\Lambda N} \frac{nA}{2\pi a^3 \Gamma(3/2n)} \left\{ 1 + \frac{nR_{\Lambda N}^2}{3r^2} \left(\frac{r}{a}\right)^{2n} \left[ 2n \left(\frac{r}{a}\right)^{2n} - (2n+1) \right] \right\} \exp \left[ -\left(\frac{r}{a}\right)^{2n} \right]. \quad (10)$$

Таким образом, дальнейший анализ сводится к описанию динамики движения частицы с приведенной массой  $\mu$  на основе уравнения Шредингера ( $l=0$ )

$$\frac{d^2 f(r)}{dr^2} = \frac{2\mu}{\hbar^2} (B_{\Lambda} + V_{\Lambda O}(r)) f(r). \quad (11)$$

## 2. Численные расчеты энергий связи гиперядер ${}^5_{\Lambda}\text{He}$ и ${}^{13}_{\Lambda}\text{C}$ и оценка параметров $\Lambda N$ -потенциала в супер-гауссовой модели

Для численного решения поставленной задачи будем использовать методику решения задачи на собственные значения дифференциального уравнения (11) с граничными условиями  $f(0)=0$  и  $f(c)=0$ , где  $c \rightarrow \infty$ . В нашем случае для быстро исчезающего потенциала (10) достаточно ограничиться значением  $c = 10$ . Кроме того, в силу линейности уравнения (10), решения определены лишь с точностью до произвольной постоянной, так что можно положить, например,  $f'(0) = 1$ .

Численные расчеты будем проводить методом пристрелки по параметру  $\Omega \equiv \Omega_{\Lambda N}$  при различных значениях  $R \equiv R_{\Lambda N}$  из интервала  $[0, 1]$ . Выбор этого диапазона согласован с предсказаниями мезонной теории, так как для юкавского  $\Lambda N$  – потенциала среднеквадратичный радиус сил в механизме  $2\pi$  – или  $K$ -обмена имеет порядок  $R_{2\pi} = 1,73 \text{ Фм}$  и  $R_K = 0,49 \text{ Фм}$ . Используя встроенную функцию *sbval*, можно построить программу расчетов по поиску величины  $\Omega$  для различных значений  $R$ , которые обеспечивают экспериментальные значения энергии связи гиперядер  ${}^5_{\Lambda}\text{He}$  и  ${}^{13}_{\Lambda}\text{C}$ . Соответствующая программа для гиперядра приведена в таблице 1.

Таблица 1 – Программа расчета  $\Omega_{\Lambda N}$  гиперядра  ${}^5_{\Lambda}\text{He}$  для  $R=0.9 \text{ Фм}$ .

$B_{\Lambda} := 3.12 \quad \mu := 858.666 \quad \hbar := 197.329 \quad n := 1 \quad a := 1.3679 \quad \Lambda_{\Lambda N} := 4$ $U(r, \Omega, R) := -\Omega \cdot \frac{A \cdot n}{2\pi \cdot a^3 \cdot \Gamma\left(\frac{3}{2n}\right)} \left[ 1 + \frac{n}{3} \cdot \frac{R^2}{a^2} \cdot \left(\frac{r}{a}\right)^{2n-2} \cdot \left[ 2n \cdot \left(\frac{r}{a}\right)^{2n} - (2n+1) \right] \right] \cdot \exp \left[ -\left(\frac{r}{a}\right)^{2n} \right]$ $\mathcal{H}(r, \Omega, R) := \frac{2\mu}{\hbar^2} \cdot (B_{\Lambda} + U(r, \Omega, R)) \quad b := 0 \quad \mathcal{M}_{\Lambda} := 10 \quad \mathcal{M}_{\Omega} := 200 \quad \mathcal{R} := 0.9$ $D(r, f) := \begin{pmatrix} f_1 \\ V(r, f_2, R) \cdot f_0 \\ 0 \end{pmatrix} \quad \text{load}(b, \Omega) := \begin{pmatrix} 0 \\ 1 \\ \Omega_0 \end{pmatrix} \quad \text{score}(c, f) := f_0$
---

Окончание табл. 1

$$\Lambda := \text{sbval}(\Omega, b, c, D, \text{load}, \text{score}) \quad \Lambda = (240.929)$$

$$u := \text{rkfixed}(\text{load}(0, \Omega), 0, 10, 100, D)$$

Поиск решения дифференциального уравнения находился с помощью встроенной программы Рунге-Куты с фиксированным шагом. Полученная зависимость потенциала взаимодействия ( $V_{\Lambda 0}(r)$ ) и волновой функции представлена на рисунке 1.

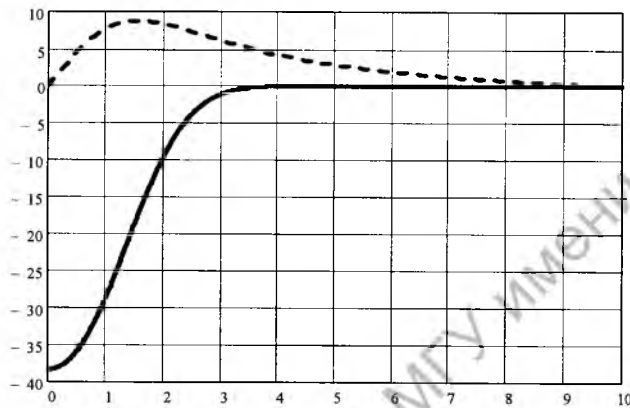


Рисунок 1 – Потенциал  $V_{\Lambda 0}(r)$  и волновая функция  $10 \cdot f(r)$  гиперядра  ${}^5_{\Lambda}\text{He}$

Аналогичные вычисления были проведены для гиперядра  ${}^{13}_{\Lambda}\text{C}$ . В результате этих численных расчетов была получена зависимость  $\Omega_{\Lambda N}(R_{\Lambda N})$  для обоих указанных гиперядер, которая представлена на рисунке 2.

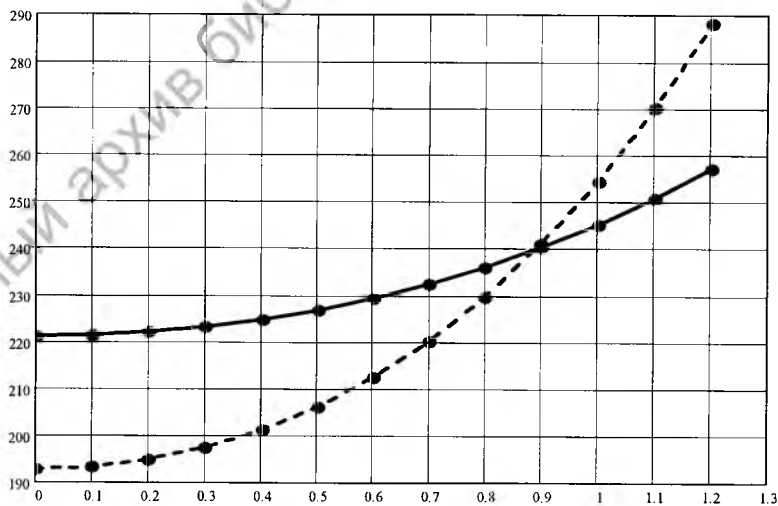


Рисунок 2 – Зависимость  $\Omega_{\Lambda N}(\text{МэВ} \cdot \Phi_M^3)$  от  $R_{\Lambda N}(\text{Фм})$ , обеспечивающая энергии связи гиперядер  ${}^5_{\Lambda}\text{He}$  (пунктирная линия) и  ${}^{13}_{\Lambda}\text{C}$  (сплошная линия)

Из рисунка видно, что совместный анализ энергий связи гиперядер  ${}^5_{\Lambda}\text{He}$  и  ${}^{13}_{\Lambda}\text{C}$  приводит к следующим значениям объемного интеграла и среднеквадратичного радиуса  $\Lambda N$  – потенциала:

$$\Omega_{\Lambda N} = 240,5 \text{ МэВ} \cdot \text{Фм}^3; \quad R_{\Lambda N} = 0,9 \text{ Фм}. \quad (12)$$

### 3. Энергии связи некоторых гиперядер в супер-гауссовой модели

Для найденных параметров  $\Lambda N$  – потенциала, можно рассчитать энергии связи остальных гиперядер. Для этой цели воспользуемся программой из таблицы 1, в которой поисковым параметром является  $B_{\Lambda}$ . Результаты проведенных расчетов для некоторых гиперядер приведены в таблице 2.

Таблица 2 – Результаты численных расчетов энергий связи гиперядер для супергауссовой модели ( $BS_{\Lambda}$ ) ( $A$  – массовое число нуклонного остова)

$A$	4	6	7	8	9	10	11
$B_{\Lambda}^{\text{эсп.}}, \text{МэВ}$	3,12	5,58	6,80	8,50	9,11	10,24	11,37
$BS_{\Lambda}, \text{МэВ}$	3,12	1,83	3,77	6,21	6,06	8,72	10,90
$A$	12	13	14	39	88	138	207
$B_{\Lambda}^{\text{эсп.}}, \text{МэВ}$	11,69	12,17	13,59	18,70	22,00	23,80	26,50
$BS_{\Lambda}, \text{МэВ}$	11,69	13,73	13,71	20,97	30,06	33,44	35,71

Как и ожидалось, существенное расхождение наблюдается при  $A = 6, 7, 9$  из-за некорректного выбора двухчастичной модели для соответствующих гиперядер.

### 4. Оценка размеров ядра-остова по энергиям связи гиперядер

Программа решения задач на поиск собственных значений (таблица 1) позволяет также решить вопрос об оценке размеров нуклонного остова по заданным значениям энергий связи гиперядер  $B_{\Lambda}$  и характеристикам  $\Lambda N$  – потенциала. В этом случае поисковым параметром является параметр  $a$  функции (4), который на основании условий (7) позволяет определить среднеквадратичный радиус ядра-остова в супергауссовой модели –  $RG$ . Для оценки качества этих результатов можно сравнить их с соответствующими размерами ядер, полученными в опытах по электронному рассеянию  $RE$  [4, 5] (таблица 3).

Из таблицы 3 видно, что оценки размеров ядер по энергиям связи гиперядер достаточно близки к результатам электронных экспериментов.

Таблица 3 – Среднеквадратичные радиусы ядер, полученные в опытах по электронному рассеянию ( $RE$ ) и энергий связи гиперядер ( $RG$ )

$A$	4	6	7	8	10	11
$RE, \text{Фм}$	1,675	2,543	2,417	2,327	2,428	2,406
$RG, \text{Фм}$	1,672	1,967	2,083	2,139	2,321	2,377
$A$	12	13	14	39	88	207
$RE, \text{Фм}$	2,470	2,461	2,558	3,459	4,245	5,494
$RG, \text{Фм}$	2,472	2,549	2,565	3,584	3,745	5,311

### 5. Низкоэнергетическое $\Lambda p$ -рассеяние

Исследование  $\Lambda p$ -рассеяния является достаточно сложной экспериментальной задачей по следующим причинам. Во-первых, время жизни  $\Lambda$ -частицы ( $\tau_\Lambda = 2,6 \cdot 10^{-10} \text{ с}$ ) слишком мало, чтобы получить пучок  $\Lambda$ -частиц на ускорителе. Задача усложняется также отсутствием электрического заряда у  $\Lambda$ -гиперона. Во-вторых, образование  $\Lambda$ -частицы – достаточно редкое событие, завершающее длинную цепочку реакций (например,  $K^- + p \rightarrow \Sigma^0 + \pi^0 \rightarrow \Lambda + \gamma + \pi^0$ ). В третьих, во всех экспериментах пучки и мишени были неполяризованы. Все это создает серьезные затруднения в интерпретации полученных результатов, приводящие к разбросу параметров рассеяния в достаточно широких пределах.

Как известно, в низкоэнергетической области сечение рассеяния барионов описывается (в пренебрежении спиновой зависимостью) двумя параметрами – длиной рассеяния  $a_0$  и эффективным радиусом  $r_0$ . В случае  $\Lambda p$ -рассеяния в работах [8, 9] рекомендуется использовать, как наиболее вероятные, значения:

$$a_0 = a_s \approx a_r \approx -2,0 \text{ Фм}; \quad r_0 = r_{0s} \approx r_{0r} \approx 3,8 \text{ Фм}. \quad (13)$$

Так как при низких энергиях форма  $\Lambda N$ -потенциала не является принципиальной, то в качестве  $\Lambda N$ -сил выберем  $\Lambda N$ -потенциал, например, экспоненциальной формы

$$U(r) = -U_0 \exp\left(-\frac{r}{R}\right), \quad (14)$$

где  $U_0 = 545,657 \text{ МэВ}$ ,  $R = 0,2598 \text{ Фм}$  определяются по найденным ранее параметрам  $\Omega_{\Lambda N}$  и  $R_{\Lambda N}$  (12).

В работе [7] предложена процедура вычисления  $a_0$  и  $r_0$  в теории фазовых функций, которая сводится к решению системы дифференциальных уравнений для вспомогательных функций  $\alpha(r)$  и  $\beta(r)$

$$\begin{cases} \frac{d\alpha}{dr} = V(r)(r \cos \alpha - \sin \alpha)^2; \\ \frac{d\beta}{dr} = -2\beta V(r)(r \cos \alpha - \sin \alpha)(\cos \alpha + r \sin \alpha) - \\ - \frac{r^2}{3} V(r)(r^2 \cos^2 \alpha - 2r \sin 2\alpha + 3 \sin^2 \alpha). \end{cases} \quad (15)$$

с начальными условиями:  $\alpha(0) = 0$ ,  $\beta(0) = 0$ . Здесь введено обозначение ( $\mu_{\Lambda p} = 509,65 \text{ МэВ}$ )

$$V(r) = \frac{2\mu}{\hbar^2} U(r). \quad (16)$$

При этом длина рассеяния  $a_0$  и эффективный радиус  $r_0$  выражаются через  $\alpha_0 = \alpha(\infty)$  и  $\beta_0 = \beta(\infty)$  по формулам:

$$a_0 = \operatorname{tg} \alpha_0; \quad r_0 = \frac{2\beta_0}{\sin^2 \alpha_0}, \quad (17)$$

или обратное преобразование:

$$\alpha_0 = \operatorname{arctg} a_0; \quad \beta_0 = \frac{1}{2} \frac{r_0 a_0^2}{(1 + a_0^2)}. \quad (18)$$

В результате численного решения системы уравнений (15) для искомых параметров окончательно получаем:

$$a = -1,40 \text{ Фм}; \quad r_0 = 1,31 \text{ Фм}, \quad (19)$$

что можно считать вполне согласованными с опытными данными (13). Заметим, что отрицательные значения длины рассеяния означает невозможность существования связанного состояния  $\Lambda N$  – системы.

### Заключение

Центральной задачей физики гиперядер является построение и оценка параметров  $\Lambda N$  – потенциала, способного адекватно описывать экспериментальные данные по энергиям связи гиперядер и  $\Lambda p$  – рассеянию. В настоящей работе показано, что эта проблема в принципе может быть решена с помощью центрального, спиново-независимого  $\Lambda N$  – потенциала, имеющего два подгоночных параметра, и двухчастичной модели строения большинства гиперядер.

### СПИСОК ИСПОЛЬЗОВАННЫХ ИСТОЧНИКОВ

1. Ланской, Д. Е. Физика гиперядер / Д. Е. Ланской. – Web-версия учебного пособия, 2002.
2. Хрылин, Б. А. Гиперядра и  $\Lambda N$ -взаимодействие / Б. А. Хрылин // Успехи физических наук. – 1971. – 105 т, вып. 2. – С. 185–205.



3. Колесников, Н. Н. Двойные гиперядра и взаимодействие / Н. Н. Колесников, С. М. Чернов, В. И. Тарасов // Известия ВУЗов: Физика. – 1975. – № 10. – С. 33–38.
4. Таблица ядерных данных / Электронный ресурс / Nuclear Data Centre : Japan Atomic Agency, 2014.
5. Варламов, В. В. Физика ядра и банки ядерных данных / В. В. Варламов, Н. Г. Гончарова, Б. С. Ишханов. – Москва : НИИЯФ МГУ, 2010. – 245 с.
6. Янке, Е. Специальные функции / Е. Янке, Ф. Эмде, Ф. Леш. – Москва : Наука, 1977. – 344 с.
7. Бабилов, В. В. Метод фазовых функций в квантовой механике / В. В. Бабилов. – М. : Наука, 1968. – 224 с.

Поступила в редакцию 18.11.2015 г.

Контакты: +375 29 373 79 62 (Чернов Станислав Михайлович)

**Chernov S.M. ESTIMATION OF THE PARAMETERS OF HYPERNUCLEI IN SUPER-GAUSSIAN MODELS AND  $\Lambda p$  – SCATTERING.**

*It has been built a central, spin independence  $\Lambda N$  – potential adequately describing the binding energy of the most hypernuclei in the two-body model and  $\Lambda p$  – scattering section at the low energies. The super-Gaussian model was used as the nucleon density in the hypernuclei.*

**Key words:** hypernuclei, binding energy, sizes nuclei, super-gaussian distribution of the nucleons, scattering length, effective radius.